

## 泥炭性有機質土のダイレイタンシーについて

秋田高専 正員 対馬 雅己

1. はじめに：付加応力が変化した場合の土の体積変化は、等方応力成分によるものと、偏差応力成分によるものとに分けられ、後者はダイレイタンシーとよばれていいるものである。本報では、泥炭性有機質土のダイレイタンシー特性について、若干のデータが得られたのでその検討を試みるものである。

2. 試料および実験方法：実験に用いた試料は、 $G_s: 1.82$ , L.L.: 43.0%,  $I_p: 2.37$ ,  $D_s: 0.05$ ,  $L_i: 57\%$  の泥炭性有機質土である。供試体は直径 35.0 mm, 高さ 87.5 mm の円柱形に成形し、圧密を促進するためにドレンーベーパーを用いた。試験は、泥炭性有機質土のダイレイタンシーを調べるために、平均有効主応力一定の排水せん断試験を実施した（荷重制御式）。また各荷重段階における  $(\sigma_1 - \sigma_3)_d$  の増分は、各  $\sigma_3$  に対して応力比 0.15 としてそれ作用させ、供試体の断面変化による応力の補正を行い、応力比を一定に保つた。

3. 実験結果および考察：平均有効主応力一定試験から得られたダイレイタンシー  $E_d$  と応力比  $T_{eff}/\sigma_3$  との関係をプロットすれば、図-1 のようになる。同図からわかるように、多少ばらつきはあるものの、平均有効主応力  $\sigma_3$  の大きさとは無関係にはほぼ一本の直線で表示されるようである。これに対して、既報<sup>1)</sup>より応力が作用した場合の全体積ひずみは、等方応力成分と偏差応力成分の重ね合せの和として表示され、その結果として非排水および排水条件下におけるダイレイタンシー  $E_d$  および  $E_d$  の挙動を示せば、図-2, 3 となる。 $E_d$ ,  $E_d$  は、ともに圧密圧力によらず、ほぼ線形的に収縮する傾向を示すようである。非排水、排水条件下における  $E_d$  および  $E_d$  と  $T_{eff}/\sigma_3$  との間に線形関係が成り立つことから、そのダイレイタンシー式として次の形式が近似的に表示することができる。 $E_d = D \left( \frac{T_{eff}/\sigma_3}{C_U} \right) \dots \dots (1)$  ここで  $E_d$  は非排水および排水条件下におけるダイレイタンシー、 $C_U$  はせん断応力  $T_{eff}$  がこの応力以下ではダイレイタンシーがほとんど生じないという限界値、 $D$  は非排水および排水条件下におけるダイレイタンシー係数である。そこで図-2, 3 の  $E_d$  および  $E_d$  と  $T_{eff}/\sigma_3$  の関係から 式(1)を用いて得られたダイレイタンシー係数  $D$  (非排水および排水条件下ではそれそれ  $D_u$ ,  $D_d$  と呼称する) の値としては、それぞれ  $D_u: 10.6 \times 10^2$ ,  $D_d: 10.3 \times 10^2$  となる。この  $D_u$  と  $D_d$  の一致性は、非排水せん断中の間隙水压の変化と排水条件下における体積変化とが表裏一体であるといふ基本的な考え方を実証するものである。ところで、平均有効主応力一定試験より直接  $E_d$  を把握するために示した図-1 の  $E_d$  と  $T_{eff}/\sigma_3$  の関係から、式(1)を適用してそのダイレイタンシー係数を求めてみると  $D: 10.8 \times 10^2$  となるようである。このことは、既報<sup>1)</sup>で述べた側圧一定の非排水および排水条件下におけるダイレイタンシーの基本式が、これによって検証され、更にこの基本式を適用することにより、ダイレイタンシーが定量的に把握されることが可能となる。

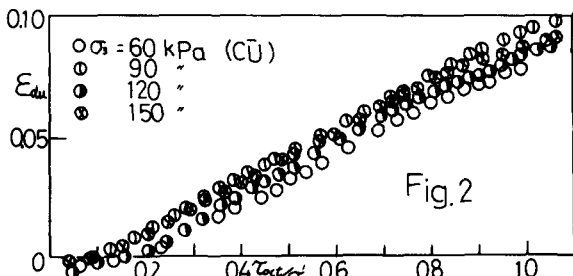


Fig. 2

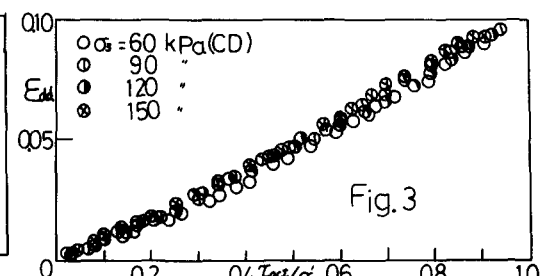


Fig. 3

(参考文献) 1) 対馬・及川：泥炭性有機質土の強度とダイレイタンシーについて、土質工学会論文報告集、1982